

第14章 LCR回路の共振特性の測定

Measurement of Resonance Characteristic of LCR Circuit

14.1 目的

LCRの直列ならびに並列共振特性を調べ、共振現象ならびにコイルのQについて習得する。

14.2 理論

LCR回路の共振状態を得るには、L、Cおよび電源周波数fのうちいずれを変化させてもよいが、ここではL、Cを一定にして、fを変化させる方法で行なう。

14.2.1 直列共振回路

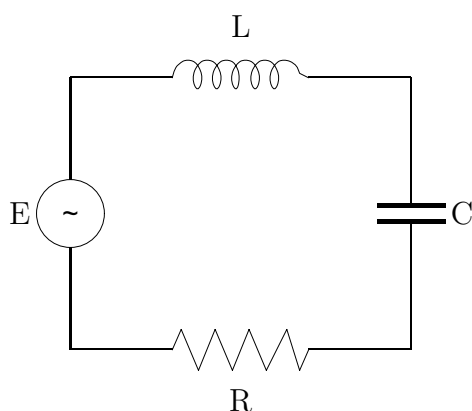


図 14.1: 直列共振回路図

図 14.1 の LCR の直列共振回路のインピーダンス \dot{Z} は

$$\dot{Z} = \frac{1}{\dot{Y}} = R + j\left(\omega L - \frac{1}{\omega C}\right) \quad (14.1)$$

$$|\dot{Z}| = \sqrt{R^2 + \left(\omega L - \frac{1}{\omega C}\right)^2} \quad (14.2)$$

である。したがってZの値は周波数によって変わるが、リアクタンス分が零、すなわち $\omega L - \frac{1}{\omega C} = 0$ のときはインピーダンスは最小値 $Z_0 = R$ になり、逆に電流は最大値 $I_0 = E/R$ になる。これ

が直列共振状態であり、そのときの周波数 f_0 を共振周波数 resonance frequency という。すなわち

$$\omega_0 L - \frac{1}{\omega_0 C} = 0 \quad f_0 = \frac{1}{2\pi\sqrt{LC}} \quad (14.3)$$

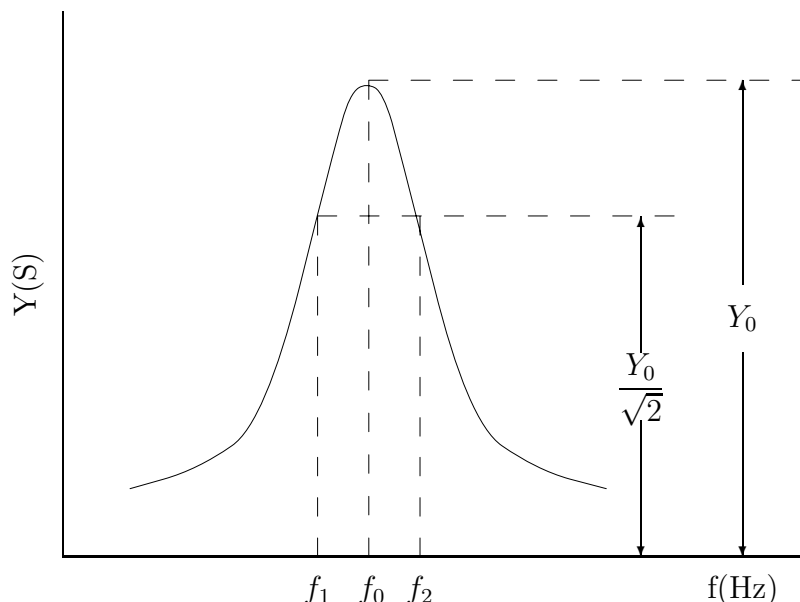


図 14.2: 直列共振特性

図 14.2 は周波数 f に対するアドミタンス Y (または電流 I) の変化を表わす曲線で共振曲線という。その尖鋭度を表わす選択度 Q は

$$Q = \frac{\omega_0 L}{R} \quad (14.4)$$

$$= \frac{1}{\omega_0 C R} \quad (14.5)$$

$$= \frac{f_0}{f_2 - f_1} \quad (14.6)$$

である。ここで、 f_1 、 f_2 は共振曲線において、最大値の $1/\sqrt{2}$ に対する周波数である。この Q を用いれば、共振時の L および C の端子電圧 E_{L0} 、 E_{C0} はそれぞれ

$$E_{L0} = \frac{E}{R} \omega_0 L = QE \quad E_{C0} = \frac{E}{R} \frac{1}{\omega_0 C} = QE \quad (14.7)$$

となる。すなわち共振時には L および C の端子には加えた電圧 E の Q 倍の電圧が現われる。また実際の共振回路では、抵抗 R はコイルとコンデンサとの等価直列抵抗であるが、近似的には、コイルだけの等価直列抵抗とみなされ、 Q の値が大きいほど、 R は小さく、コイルの損失が少ないことを意味する。

14.2.2 並列共振回路

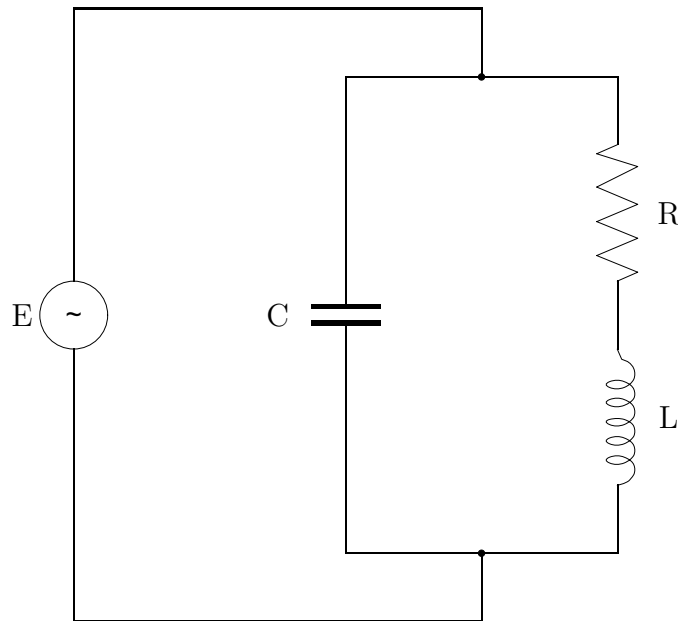


図 14.3: 並列共振回路

図 14.3 の LCR の並列共振回路のアドミッタンス \dot{Y} は、

$$\dot{Y} = \frac{1}{\dot{Z}} = \frac{1}{-j\frac{1}{\omega C}} + \frac{1}{R + j\omega L} = \frac{R}{R^2 + \omega^2 L^2} + j\left(\omega C - \frac{\omega L}{R^2 + \omega^2 L^2}\right) \quad (14.8)$$

である。リアクタンス分が零のときは、アドミッタンスは最小値になり、電流も最小値になる。これが並列共振状態であり、共振周波数 f_0 は次のようになる。

$$\omega C - \frac{\omega_0 L}{R^2 + \omega_0^2 L^2} = 0 \quad f_0 = \frac{1}{2\pi} \sqrt{\frac{1}{LC} - \frac{R^2}{L^2}} \quad (14.9)$$

$$|\dot{Y}| = \sqrt{\left(\frac{R}{R^2 + \omega^2 L^2}\right)^2 + \left(\omega C - \frac{\omega L}{R^2 + \omega^2 L^2}\right)^2} \quad (14.10)$$

もし $R \ll \sqrt{\frac{L}{C}}$ ならば

$$f_0 = \frac{1}{2\pi\sqrt{LC}} \quad (14.11)$$

となり、直列共振回路の共振周波数と一致する。

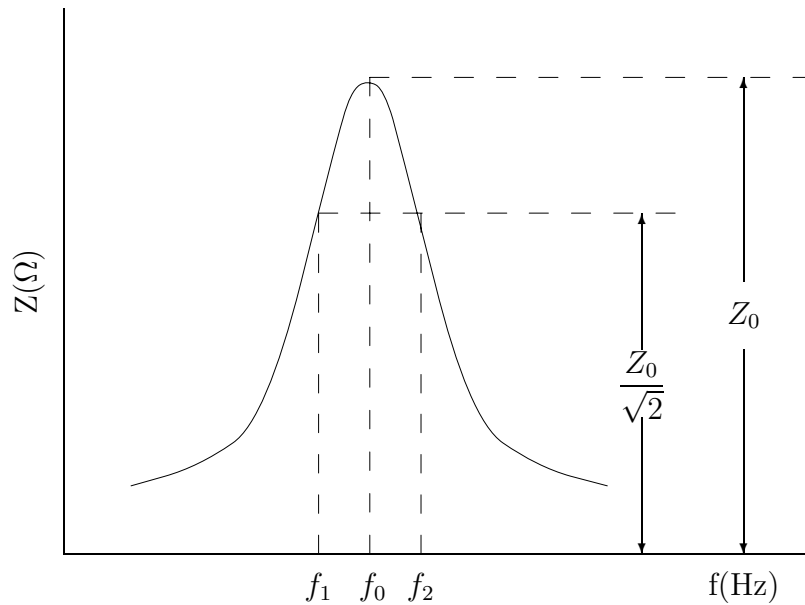


図 14.4: 並列共振特性

図 14.4 は周波数 f に対するインピーダンス Z (または電流 I の逆数) の変化を表わす曲線で、その選択度 Q は

$$Q = \frac{\omega_0 L}{R} \quad (14.12)$$

$$= \frac{f_0}{f_2 - f_1} \quad (14.13)$$

である。厳密には、図 14.4 において Z の値が最大になる点は f_0 より多少大きい方に現われる。しかし $R \ll \sqrt{L/C}$ の場合には、近似的に両者の点は一致する。

14.3 方法

図 14.5 と図 14.6 のように、共振回路に直列抵抗 R を接続し、周波数 f を変化して、これに対する共振回路および直列抵抗 R の端子電圧 V_a および V_b をマルチメータで測定する。

いま共振回路および直列抵抗 R を流れる電流を I とすれば、次のようになる。

$$V_a = ZI \quad V_b = RI \quad (14.14)$$

これから

$$Z = \frac{1}{Y} = \frac{V_a}{V_b} R \quad (14.15)$$

となり、

共振回路のインピーダンス Z およびアドミッタンス Y は直列、並列共振回路ともに式 (14.15) から求められる。

14.3.1 直列共振回路

直列共振回路の結線を図 14.5 に示す。

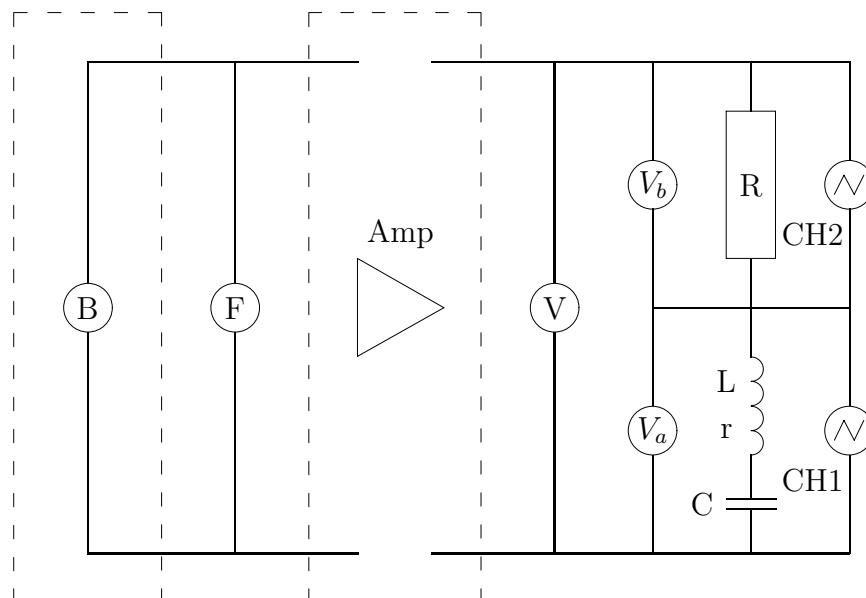


図 14.5: 直列共振特性の測定結線図 (JIS C 0617 「電気用図記号」による表記)

B	: 低周波発振器	F	: 周波数計	V_a	: デジタルマルチメータ
C	: コンデンサ	L	: インダクタンス	V_b	: デジタルマルチメータ
R	: 高周波無誘導抵抗	r	: コイルの等価抵抗	V	: デジタルマルチメータ
CH1	: デジタルオシロスコープ	Amp	: 増幅器		
CH2	: デジタルオシロスコープ				

14.3.2 直列共振回路の共振周波数の測定

直列共振回路の共振周波数 f_0 (図 14.2 参照) を次の手順で測定する。

1. 図 14.5 の結線を終える。
2. 理論上の直列共振回路の共振周波数 f_0 (式 14.3 参照) を計算する。
3. 発信器の周波数を理論上の直列共振回路の共振周波数である式 14.3 の f_0 に設定する。
4. 図 14.5 の電圧 V を Amp のゲインを調整して 15(V) から 16(V) の範囲で、いずれかの値に設定する。以後、Amp のゲインつまみは操作しない。
5. デジタルオシロスコープに 2 つの波形を表示 (第 3.7.1 項デジタルオシロスコープで波形を表示を参照) する。
6. 発信器の周波数を少しずつ変化させ、オシロスコープに表示されている 2 つの波形のなかで、いずれか 1 つの波形の振幅を最小にする。
7. デジタルオシロスコープの表示をリサージュ波形表示 (第 4.7.3 項デジタルオシロスコープでリサージュ波形の表示を参照) に切り替える。
8. 楕円形のリサージュ波形が表示される。

9. 発信器の周波数を少しずつ変化させ、リサージュ波形を直線にする。
10. リサージュ波形が直線に設定した状態で周波数計を読み取る。この周波数が実測した直列共振回路の共振周波数 f_0 である。

14.3.3 直列共振回路のアドミッタンスの測定

図 14.5 のように直列共振回路を接続する。周波数 f を変化して端子電圧 V_a と V_b を測定する。変化する周波数の範囲は、実測した直列共振回路の共振周波数 f_0 の $\pm 200(\text{Hz})$ の範囲である。このとき周波数の刻み幅は、次の値を目安にする。

$f_0 - 200(\text{Hz})$ から $f_0 - 100(\text{Hz})$ までは $20(\text{Hz})$

$f_0 - 100(\text{Hz})$ から $f_0(\text{Hz})$ までは $10(\text{Hz})$

$f_0(\text{Hz})$ から $f_0 + 100(\text{Hz})$ までは $10(\text{Hz})$

$f_0 - 200(\text{Hz})$ から $f_0 + 100(\text{Hz})$ までは $20(\text{Hz})$

ただし、刻み幅の $10(\text{Hz})$ と $20(\text{Hz})$ の変化分は、およその目安とする。

14.3.4 並列共振回路

並列共振回路の結線を図 14.6 に示す。

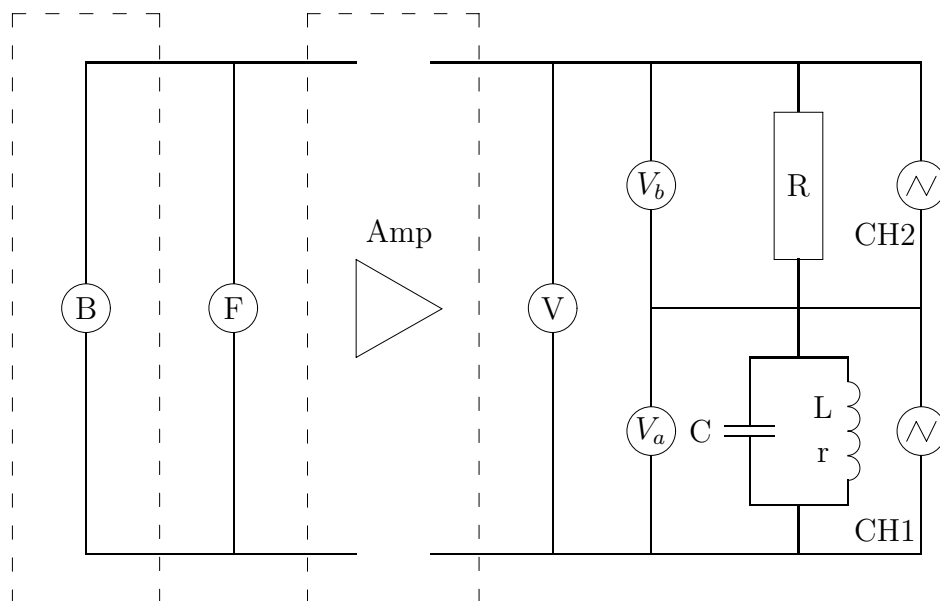


図 14.6: 並列共振特性の測定結線図 (JIS C 0617「電気用図記号」による表記)

14.3.5 並列共振回路の共振周波数の測定

並列共振回路の共振周波数 f_0 (図 14.4 参照) を第 14.3.2 項「直列共振回路の共振周波数の測定」の手順を参考にして測定する。

ただし、第 14.3.2 項 2. での共振周波数は、理論上の並列共振回路の共振周波数 f_0 を求める式 14.9 で計算する。

14.3.6 並列共振回路のインピーダンスの測定

図 14.6 のように並列共振回路を接続する。

測定は、第 14.3.3 項の「直列共振回路のアドミッタンスの測定」を参考にする。

14.3.7 コイルの直流抵抗の測定

コイルの直流抵抗をマルチメータで測定する。

14.4 結果

コイルのインダクタンス $L(\text{mH})$

コンデンサのキャパシタンス $C(\mu\text{F})$

直列抵抗 $R(\Omega)$

コイルの直流抵抗 $r(\Omega)$

14.4.1 直列共振回路のアドミッタンス

周波数 f を横軸にし、アドミッタンス Y を縦軸にしてアドミッタンス Y の変化を曲線で示す。

この曲線に f_1 、共振周波数 f_0 および f_2 (図 14.2 参照) を記入する。

式 14.6 から選択度 Q 求める。このとき、代入する数値を明記する。

式 14.4 または式 14.5 から R 求める。前と同様に代入する数値を明記する。

周波数 $f(\text{Hz})$	電子電圧計の読み		アドミッタンス (S)
	$V_a(\text{V})$	$V_b(\text{V})$	

14.4.2 並列共振回路のインピーダンス

周波数 f を横軸にし、インピーダンス Z を縦軸にしてインピーダンス Z の変化を曲線で示す。

この曲線に f_1 、共振周波数 f_0 および f_2 (図 14.4 参照) を記入する。

式 14.13 から選択度 Q 求める。このとき、代入する数値を明記する。

式 14.12 から R 求める。前と同様に代入する数値を明記する。

周波数 $f(\text{Hz})$	電子電圧計の読み		インピーダンス (Ω)
	$V_a(\text{V})$	$V_b(\text{V})$	

14.5 注意

1. 浮遊容量の影響がないように配線に注意する。
2. STANDAR CAPACITOR の端子は、 C_1 と C_2 を使用する。
3. デジタルマルチメータは交流で使用する。

14.6 問題

14.6.1 調査・検討問題

1. マルチメータ (電子電圧計) の代りにふつうの電圧計を用いたならば、いかなる影響があるか。
2. 式 14.3 で求めた理論上の直列共振回路の共振周波数 f_0 と第 14.3.2 項で実測した直列共振回路の共振周波数 f_0 の違いを検討する。
3. 式 14.9 で求めた理論上の並列共振回路の共振周波数 f_0 と第 14.3.4 項で実測した並列共振回路の共振周波数 f_0 の違いを検討する。